

FOTOGRAFIAS 1 y 2.- 28-15-GS-LQ-7035 y 28-15-GS-CG-3000

Relieves yesíferos sobre los que se instalan depósitos de valle  
de fondo plano actualmente en proceso de desmantelación

FOTO 3.- 28-15-GS-LQ-7049

Facies fibrosa y columnar en yesos de la unidad cartográfica 3

FOTO 4.- 28-15-GS-LQ-7044

Pequeñas deformaciones en yesos de la unidad cartográfica 6

FOTOGRAFIAS 5 y 6.- 28-15-GS-LQ-7001 y 7038

Fractura y pliegue de pequeña escala en yesos de la unidad cartográfica 6

FOTOGRAFIA 7.- 28-15-GS-LQ-7034

Arcillas limosas ocres de la unidad cartográfica 8

FOTOGRAFIA 8.- 28-15-GS-LQ-7045

Depósito de terraza con dos episodios marcadamente distintos, uno inferior compuesto por gravas, y otro superior netamente arenoso

FOTOGRAFIA 9.- 28-15-GS-LQ-7043

Depósito de glacis sobre arcillas de la unidad cartográfica 8

FOTOGRAFIA 10.- 28-15-GS-LQ-7033

Potente depósito de glacis compuesto por gravas, arenas y limos,  
desarrollado sobre yesos

FOTOGRAFIA 11.- 28-15-GS-LQ-7047

Depósitos de glacis (cumbres) y valle de fondo plano (primer plano) desarrollados sobre yesos

\*SIN UBICACIÓN EN EL PLANO DE SITUACIÓN  
DE MUESTRAS, NI EN FICHAS MCCI

FOTOGRAFIA 12.- 28-15-GS-LQ-7020

Depósito de terraza (parte superior izquierda) limitada por yesos (parte superior derecha) en su parte más próxima al río. Indica que se ha producido un hundimiento relativo de la terraza, bien por efecto de una falla, bien por procesos de disolución

FOTOGRAFIA 13.- 28-15-GS-LQ-7046

Dos canteras adyacentes sobre gravas de una terraza del Ebro (tonos ocres) y sobre yesos de la unidad cartográfica 4 (blanquecino). En primer plano, valle de fondo plano.

FOTOGRAFIA 14.- 28-15-GS-LQ-7039

Superficies de glacis colgadas. A su pie, numerosos valles de fondo plano desarrollados sobre materiales yesíferos

FOTOGRAFIA 15.- 28-15-GS-LQ-7036

Aspecto típico de la zona. Cerros alomados tallados en yeso separados por valles de fondo plano

FOTOGRAFIA 16.- 28-15-GS-CG-3001

Efectos de una tormenta sobre el "suelo cultivado" en un valle de fondo plano. Las estriaciones marcan la profundidad alcanzada por los aperos de labranza.

FOTOGRAFIA 17.- 28-15-GS-LQ-7041

Procesos de "piping" afectando al escarpe de un aterrazamiento en un valle de fondo plano

FOTOGRAFIA 18.- 28-15-GS-LQ-7042

Colapso en un camino rural asentado sobre una terraza. La disolución del yeso, tanto bajo depósitos cuaternarios como cuando se encuentra aflorante, ocasiona interminables problemas geotécnicos en todo tipo de estructuras de ingeniería

\*SIN UBICACIÓN EN EL PLANO DE SITUACIÓN DE  
MUESTRAS, NI EN FICHAS MCC1.

FOTOGRAFIA 19.- 28-15-GS-LQ-7022

Falla de salto decimétrico en un depósito limoso de cono de deyección

FOTOGRAFIA 20.- 28-15-GS-LQ-7040

Colapso por disolución subsuperficial de yeso afectando a un depósito de glacis

*\*SIN UBICACIÓN EN EL PLANO DE SITUACIÓN  
DE MUESTRAS, NI EN FICHAS MCCT*

FOTOGRAFIA 21.- 28-15-GS-LQ-7048

Falla con salto de orden métrico afectando a depósitos de cono de  
deyección y terraza.

FOTOGRAFIA 22.- 28-15-GS-LQ-7050

Depósito de glacis deformado por holocinesis



FOTO 1



FOTO 10



FOTO 11



FOTO 12





FOTO 14



FOTO 15



FOTO 16



FOTO 17





FOTO 19



FOTO 2



FOTO 20

FOTO 21





FOTO 22



FOTO 3





FOTO 5

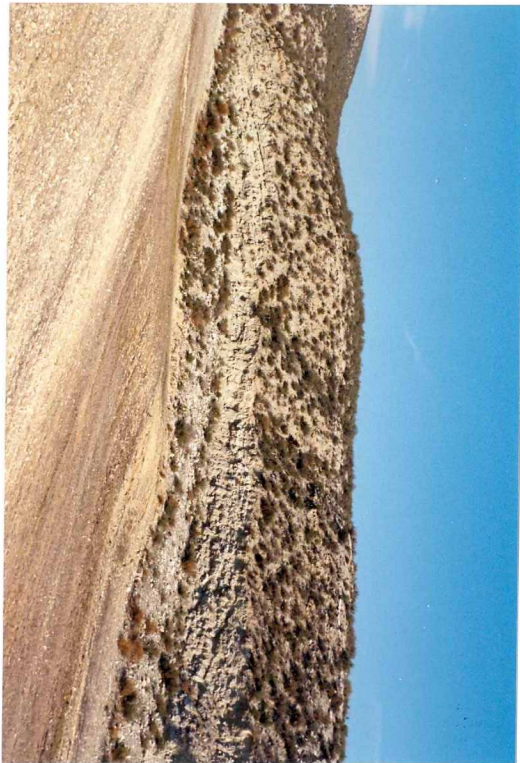


FOTO 6



FOTO 7



FOTO 8



FOTO 9